

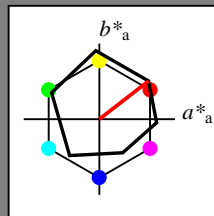
Eingabe: Farbmétrisches Offset-Reflektiv-System ORS18

für Buntton  $h^* = lab^*h = 38/360 = 0.105$  $lab^*tch$  und  $lab^*nch$ 

D50: Buntton O

LCH\*Ma: 48 82 38

olv\*Ma: 1.0 0.0 0.0



ORS18; adaptierte CIELAB-Daten

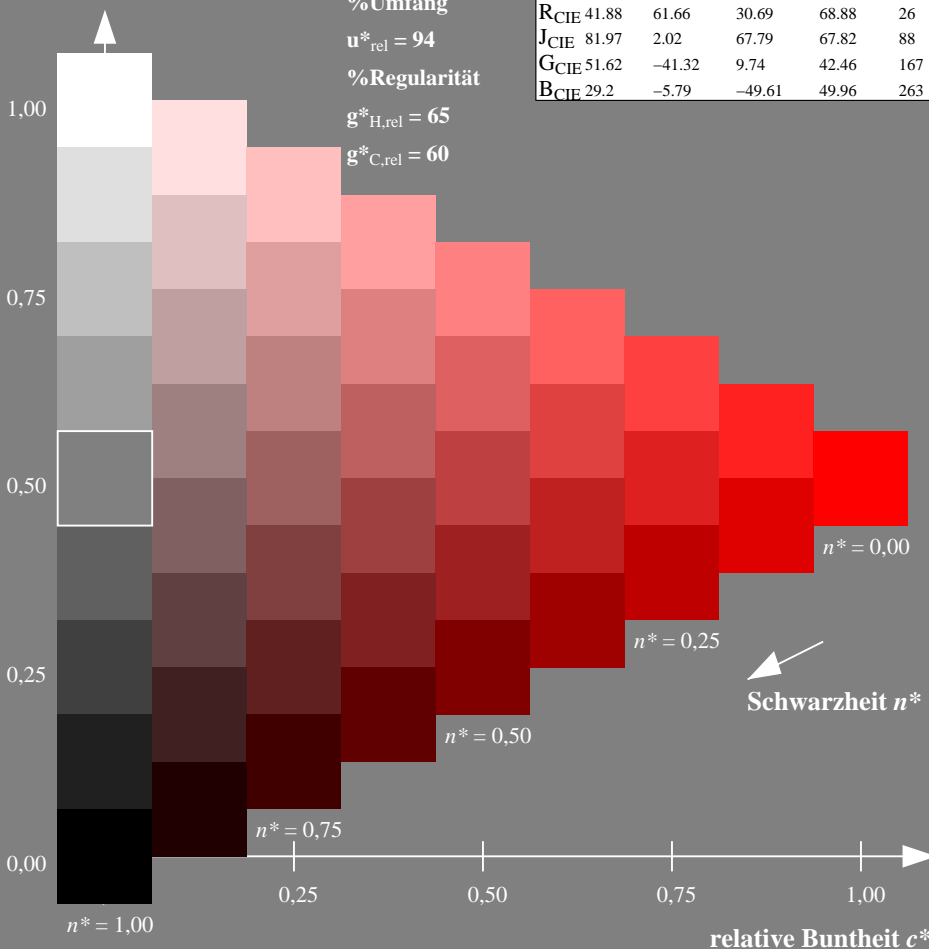
	$L^*=L^*_a$	$a^*_a$	$b^*_a$	$C^*_{ab,a}$	$h^*_{ab,a}$
O <sub>Ma</sub>	47.94	65.05	50.54	82.38	38
Y <sub>Ma</sub>	91.0	-4.72	90.58	90.7	93
L <sub>Ma</sub>	50.9	-63.18	34.98	72.22	151
C <sub>Ma</sub>	56.99	-39.34	-48.1	62.16	231
V <sub>Ma</sub>	25.72	30.89	-44.4	54.09	305
M <sub>Ma</sub>	49.99	75.76	-4.64	75.9	356
N <sub>Ma</sub>	18.09	0.0	0.0	0.0	0
W <sub>Ma</sub>	95.46	0.0	0.0	0.0	0
R <sub>CIE</sub>	41.88	61.66	30.69	68.88	26
J <sub>CIE</sub>	81.97	2.02	67.79	67.82	88
G <sub>CIE</sub>	51.62	-41.32	9.74	42.46	167
B <sub>CIE</sub>	29.2	-5.79	-49.61	49.96	263

Dreiecks-Helligkeit  $t^*$ 

%Umfang

 $u^*_{rel} = 94$ 

%Regularität

 $g^*_{H,rel} = 65$  $g^*_{C,rel} = 60$ 

PG900-7, 9stufige Reihen für konstanten CIELAB Buntton 38/360 = 0.105 (links)

BAM-Prüfvorlage PG90; Farbmétrik-Systeme ORS18 &amp; ORS18 input: olv\* setrgbcolor

D50: 9 und 16stufige Farbreihen für 10 Bunttöne

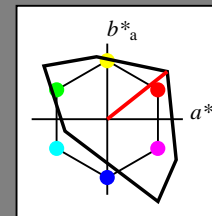
Ausgabe: Farbmétrisches Fernseh-Licht-System TLS00

für Buntton  $h^* = lab^*h = 38/360 = 0.107$  $lab^*tch$  und  $lab^*nch$ 

D50: Buntton O

LCH\*Ma: 54 101 38

olv\*Ma: 1.0 0.0 0.0



TLS00; adaptierte CIELAB-Daten

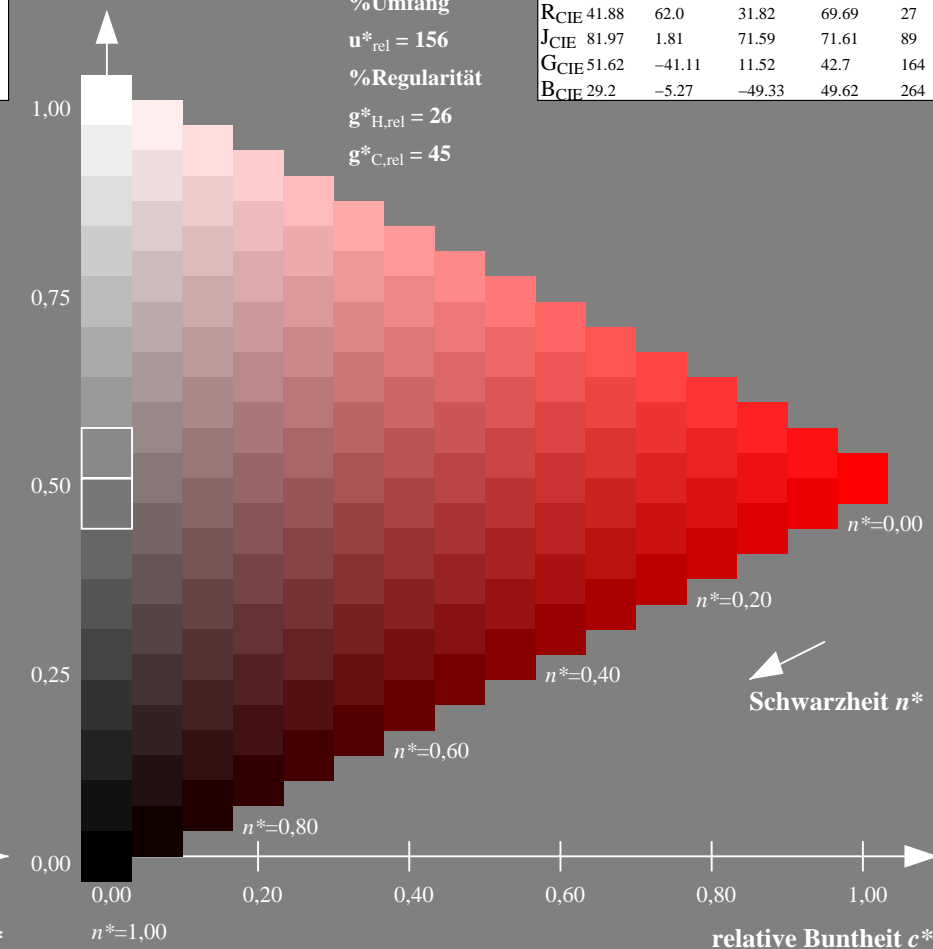
	$L^*=L^*_a$	$a^*_a$	$b^*_a$	$C^*_{ab,a}$	$h^*_{ab,a}$
O <sub>Ma</sub>	54.19	79.36	63.0	101.33	38
Y <sub>Ma</sub>	93.44	-14.18	82.59	83.8	100
L <sub>Ma</sub>	82.82	-83.73	70.41	109.41	140
C <sub>Ma</sub>	85.22	-55.9	-15.78	58.1	196
V <sub>Ma</sub>	25.61	67.05	-108.87	127.87	302
M <sub>Ma</sub>	58.76	91.18	-53.69	105.82	330
N <sub>Ma</sub>	0.01	0.0	0.0	0.0	0
W <sub>Ma</sub>	95.41	0.0	0.0	0.0	0
R <sub>CIE</sub>	41.88	62.0	31.82	69.69	27
J <sub>CIE</sub>	81.97	1.81	71.59	71.61	89
G <sub>CIE</sub>	51.62	-41.11	11.52	42.7	164
B <sub>CIE</sub>	29.2	-5.27	-49.33	49.62	264

Dreiecks-Helligkeit  $t^*$ 

%Umfang

 $u^*_{rel} = 156$ 

%Regularität

 $g^*_{H,rel} = 26$  $g^*_{C,rel} = 45$ 

16stufige Reihen für konstanten CIELAB Buntton 38/360 = 0.107 (rechts)

output: Startup (S) data dependend

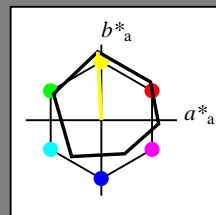
Eingabe: Farbmétrisches Offset-Reflektiv-System ORS18

für Buntton  $h^* = lab^*h = 93/360 = 0.258$  $lab^*tch$  und  $lab^*nch$ 

D50: Buntton Y

LCH\*Ma: 91 91 93

olv\*Ma: 1.0 1.0 0.0

Dreiecks-Helligkeit  $t^*$ 

%Umfang

 $u^*_{rel} = 94$ 

%Regularität

 $g^*_{H,rel} = 65$  $g^*_{C,rel} = 60$ 

ORS18; adaptierte CIELAB-Daten

	$L^*=L^*_a$	$a^*_a$	$b^*_a$	$C^*_{ab,a}$	$h^*_{ab,a}$
O <sub>Ma</sub>	47.94	65.05	50.54	82.38	38
Y <sub>Ma</sub>	91.0	-4.72	90.58	90.7	93
L <sub>Ma</sub>	50.9	-63.18	34.98	72.22	151
C <sub>Ma</sub>	56.99	-39.34	-48.1	62.16	231
V <sub>Ma</sub>	25.72	30.89	-44.4	54.09	305
M <sub>Ma</sub>	49.99	75.76	-4.64	75.9	356
N <sub>Ma</sub>	18.09	0.0	0.0	0.0	0
W <sub>Ma</sub>	95.46	0.0	0.0	0.0	0
R <sub>CIE</sub>	41.88	61.66	30.69	68.88	26
J <sub>CIE</sub>	81.97	2.02	67.79	67.82	88
G <sub>CIE</sub>	51.62	-41.32	9.74	42.46	167
B <sub>CIE</sub>	29.2	-5.79	-49.61	49.96	263

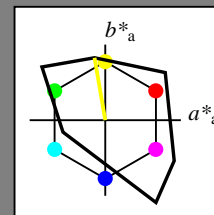
Ausgabe: Farbmétrisches Fernseh-Licht-System TLS00

für Buntton  $h^* = lab^*h = 100/360 = 0.277$  $lab^*tch$  und  $lab^*nch$ 

D50: Buntton Y

LCH\*Ma: 93 84 100

olv\*Ma: 1.0 1.0 0.0

Dreiecks-Helligkeit  $t^*$ 

%Umfang

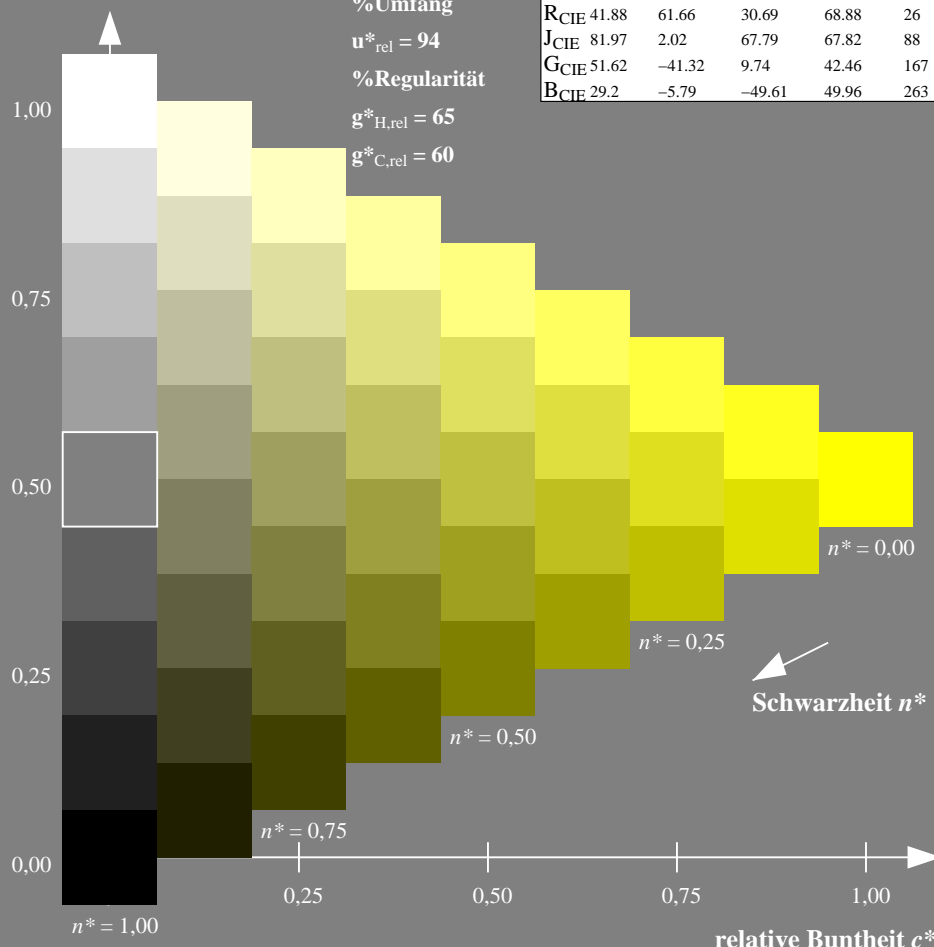
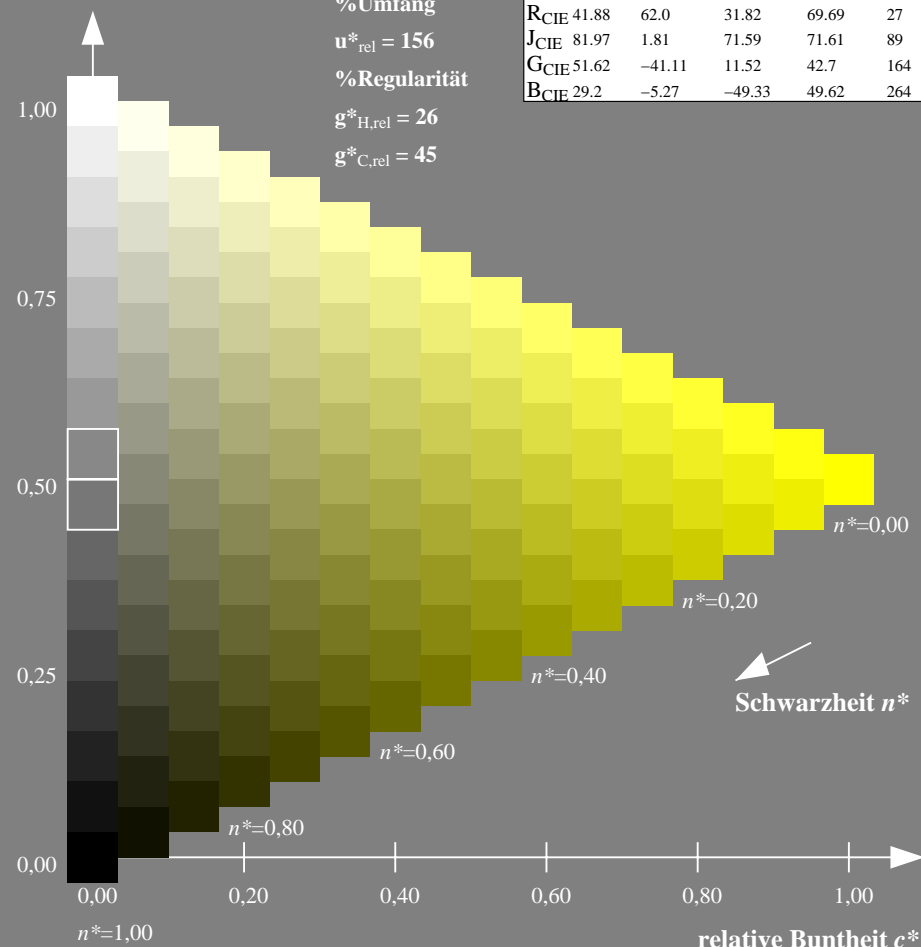
 $u^*_{rel} = 156$ 

%Regularität

 $g^*_{H,rel} = 26$  $g^*_{C,rel} = 45$ 

TLS00; adaptierte CIELAB-Daten

	$L^*=L^*_a$	$a^*_a$	$b^*_a$	$C^*_{ab,a}$	$h^*_{ab,a}$
O <sub>Ma</sub>	54.19	79.36	63.0	101.33	38
Y <sub>Ma</sub>	93.44	-14.18	82.59	83.8	100
L <sub>Ma</sub>	82.82	-83.73	70.41	109.41	140
C <sub>Ma</sub>	85.22	-55.9	-15.78	58.1	196
V <sub>Ma</sub>	25.61	67.05	-108.87	127.87	302
M <sub>Ma</sub>	58.76	91.18	-53.69	105.82	330
N <sub>Ma</sub>	0.01	0.0	0.0	0.0	0
W <sub>Ma</sub>	95.41	0.0	0.0	0.0	0
R <sub>CIE</sub>	41.88	62.0	31.82	69.69	27
J <sub>CIE</sub>	81.97	1.81	71.59	71.61	89
G <sub>CIE</sub>	51.62	-41.11	11.52	42.7	164
B <sub>CIE</sub>	29.2	-5.27	-49.33	49.62	264

Schwarzheit  $n^*$ Schwarzheit  $n^*$ 

PG900-7, 9stufige Reihen für konstanten CIELAB Buntton 93/360 = 0.258 (links)

16stufige Reihen für konstanten CIELAB Buntton 100/360 = 0.277 (rechts)

BAM-Prüfvorlage PG90; Farbmétrik-Systeme ORS18 &amp; ORS18 input: olv\* setrgbcolor

D50: 9 und 16stufige Farbreihen für 10 Bunttöne

output: Startup (S) data dependend

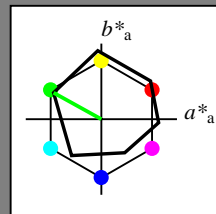
Eingabe: Farbmétrisches Offset-Reflektiv-System ORS18

für Buntton  $h^* = lab^*h = 151/360 = 0.42$  $lab^*tch$  und  $lab^*nch$ 

D50: Buntton L

LCH\*Ma: 51 72 151

olv\*Ma: 0.0 1.0 0.0

Dreiecks-Helligkeit  $t^*$ 

%Umfang

 $u^*_{rel} = 94$ 

%Regularität

 $g^*_{H,rel} = 65$  $g^*_{C,rel} = 60$ 

ORS18; adaptierte CIELAB-Daten

	$L^*=L^*_a$	$a^*_a$	$b^*_a$	$C^*_{ab,a}$	$h^*_{ab,a}$
O <sub>Ma</sub>	47.94	65.05	50.54	82.38	38
Y <sub>Ma</sub>	91.0	-4.72	90.58	90.7	93
L <sub>Ma</sub>	50.9	-63.18	34.98	72.22	151
C <sub>Ma</sub>	56.99	-39.34	-48.1	62.16	231
V <sub>Ma</sub>	25.72	30.89	-44.4	54.09	305
M <sub>Ma</sub>	49.99	75.76	-4.64	75.9	356
N <sub>Ma</sub>	18.09	0.0	0.0	0.0	0
W <sub>Ma</sub>	95.46	0.0	0.0	0.0	0
R <sub>CIE</sub>	41.88	61.66	30.69	68.88	26
J <sub>CIE</sub>	81.97	2.02	67.79	67.82	88
G <sub>CIE</sub>	51.62	-41.32	9.74	42.46	167
B <sub>CIE</sub>	29.2	-5.79	-49.61	49.96	263

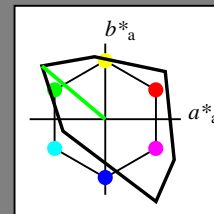
Ausgabe: Farbmétrisches Fernseh-Licht-System TLS00

für Buntton  $h^* = lab^*h = 140/360 = 0.389$  $lab^*tch$  und  $lab^*nch$ 

D50: Buntton L

LCH\*Ma: 83 109 140

olv\*Ma: 0.0 1.0 0.0

Dreiecks-Helligkeit  $t^*$ 

%Umfang

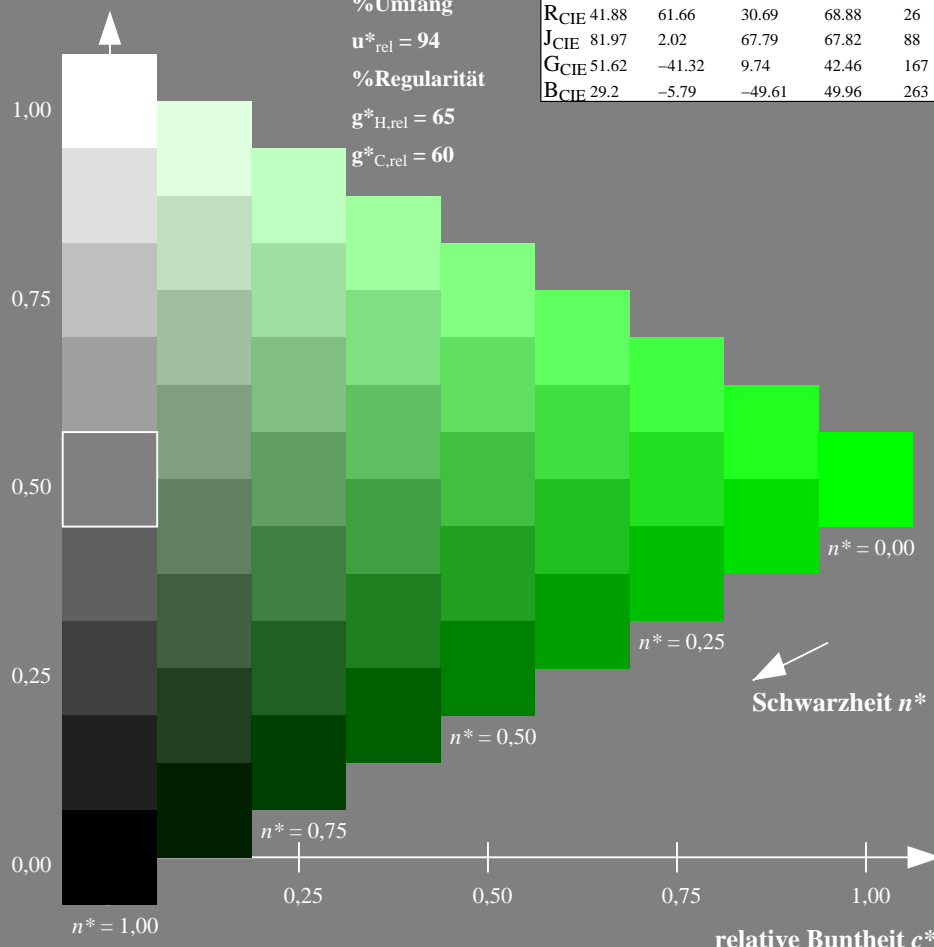
 $u^*_{rel} = 156$ 

%Regularität

 $g^*_{H,rel} = 26$  $g^*_{C,rel} = 45$ 

TLS00; adaptierte CIELAB-Daten

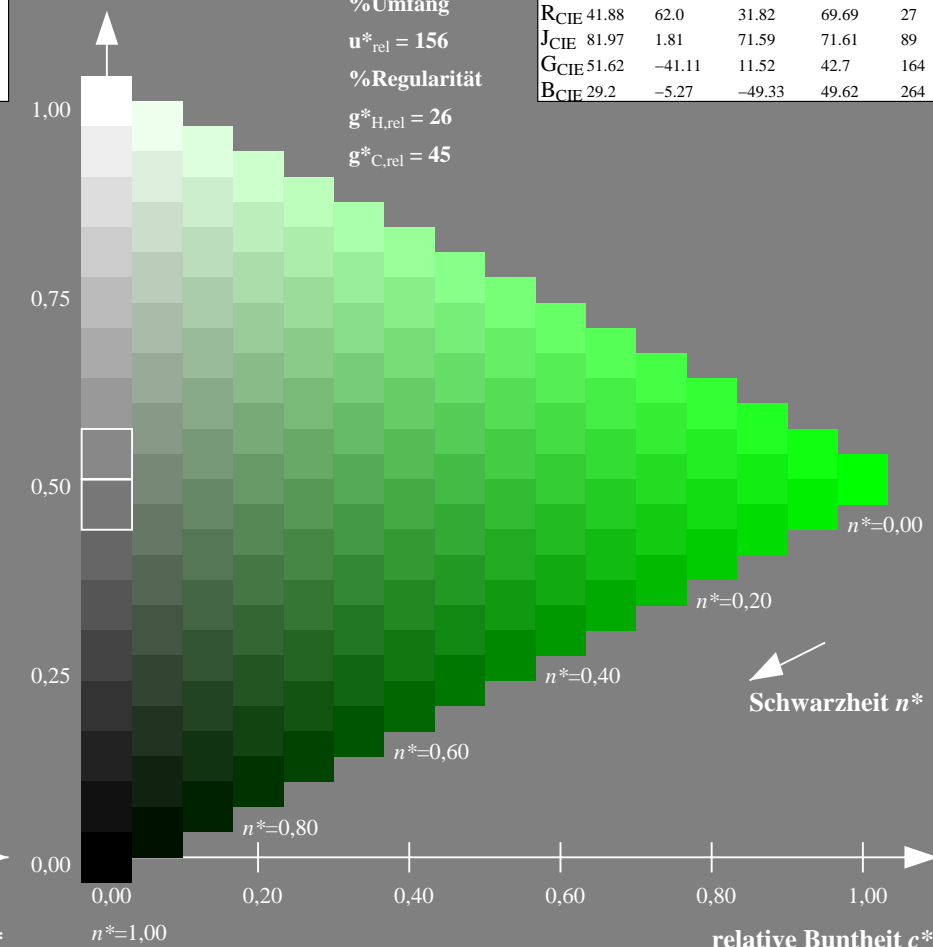
	$L^*=L^*_a$	$a^*_a$	$b^*_a$	$C^*_{ab,a}$	$h^*_{ab,a}$
O <sub>Ma</sub>	54.19	79.36	63.0	101.33	38
Y <sub>Ma</sub>	93.44	-14.18	82.59	83.8	100
L <sub>Ma</sub>	82.82	-83.73	70.41	109.41	140
C <sub>Ma</sub>	85.22	-55.9	-15.78	58.1	196
V <sub>Ma</sub>	25.61	67.05	-108.87	127.87	302
M <sub>Ma</sub>	58.76	91.18	-53.69	105.82	330
N <sub>Ma</sub>	0.01	0.0	0.0	0.0	0
W <sub>Ma</sub>	95.41	0.0	0.0	0.0	0
R <sub>CIE</sub>	41.88	62.0	31.82	69.69	27
J <sub>CIE</sub>	81.97	1.81	71.59	71.61	89
G <sub>CIE</sub>	51.62	-41.11	11.52	42.7	164
B <sub>CIE</sub>	29.2	-5.27	-49.33	49.62	264



PG900-7, 9stufige Reihen für konstanten CIELAB Buntton 151/360 = 0.42 (links)

BAM-Prüfvorlage PG90; Farbmétrik-Systeme ORS18 &amp; ORS18 input: olv\* setrgbcolor

D50: 9 und 16stufige Farbreihen für 10 Bunttöne



16stufige Reihen für konstanten CIELAB Buntton 140/360 = 0.389 (rechts)

output: Startup (S) data dependend

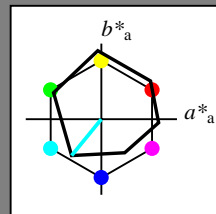
Eingabe: Farbmétrisches Offset-Reflektiv-System ORS18

für Buntton  $h^* = lab^*h = 231/360 = 0.641$  $lab^*tch$  und  $lab^*nch$ 

D50: Buntton C

LCH\*Ma: 57 62 231

olv\*Ma: 0.0 1.0 1.0



ORS18; adaptierte CIELAB-Daten

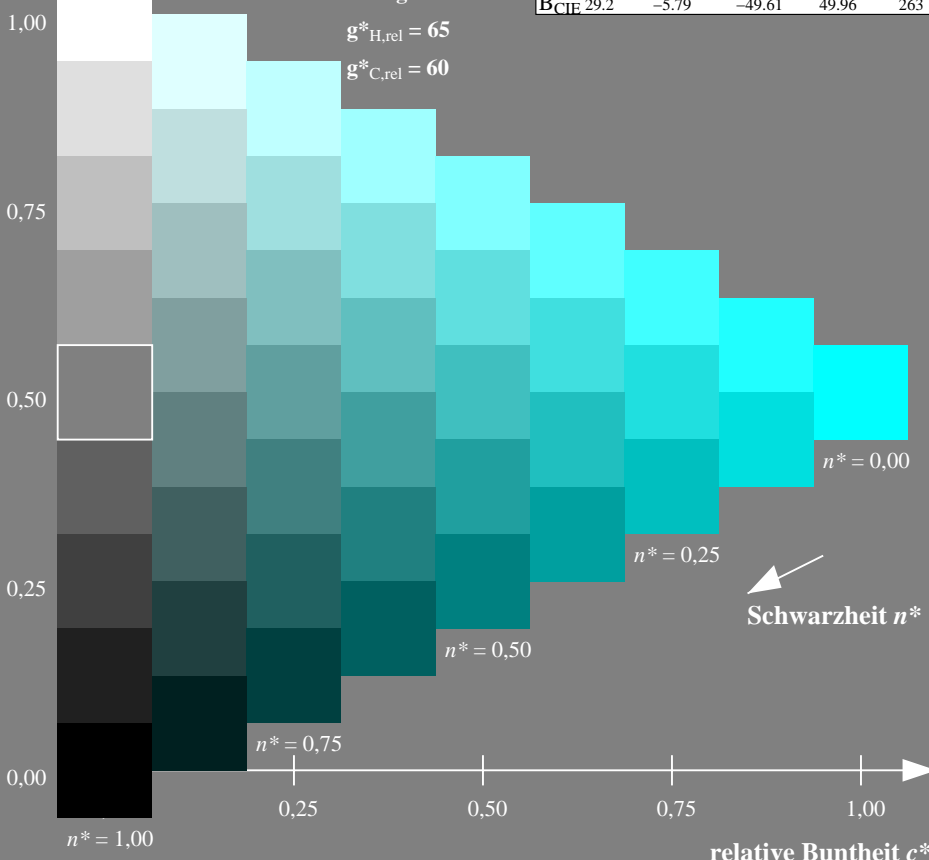
	$L^*=L^*_a$	$a^*_a$	$b^*_a$	$C^*_{ab,a}$	$h^*_{ab,a}$
O <sub>Ma</sub>	47.94	65.05	50.54	82.38	38
Y <sub>Ma</sub>	91.0	-4.72	90.58	90.7	93
L <sub>Ma</sub>	50.9	-63.18	34.98	72.22	151
C <sub>Ma</sub>	56.99	-39.34	-48.1	62.16	231
V <sub>Ma</sub>	25.72	30.89	-44.4	54.09	305
M <sub>Ma</sub>	49.99	75.76	-4.64	75.9	356
N <sub>Ma</sub>	18.09	0.0	0.0	0.0	0
W <sub>Ma</sub>	95.46	0.0	0.0	0.0	0
R <sub>CIE</sub>	41.88	61.66	30.69	68.88	26
J <sub>CIE</sub>	81.97	2.02	67.79	67.82	88
G <sub>CIE</sub>	51.62	-41.32	9.74	42.46	167
B <sub>CIE</sub>	29.2	-5.79	-49.61	49.96	263

Dreiecks-Helligkeit  $t^*$ 

%Umfang

 $u^*_{rel} = 94$ 

%Regularität

 $g^*_{H,rel} = 65$  $g^*_{C,rel} = 60$ 

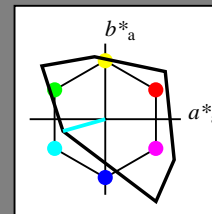
Ausgabe: Farbmétrisches Fernseh-Licht-System TLS00

für Buntton  $h^* = lab^*h = 196/360 = 0.544$  $lab^*tch$  und  $lab^*nch$ 

D50: Buntton C

LCH\*Ma: 85 58 196

olv\*Ma: 0.0 1.0 1.0



TLS00; adaptierte CIELAB-Daten

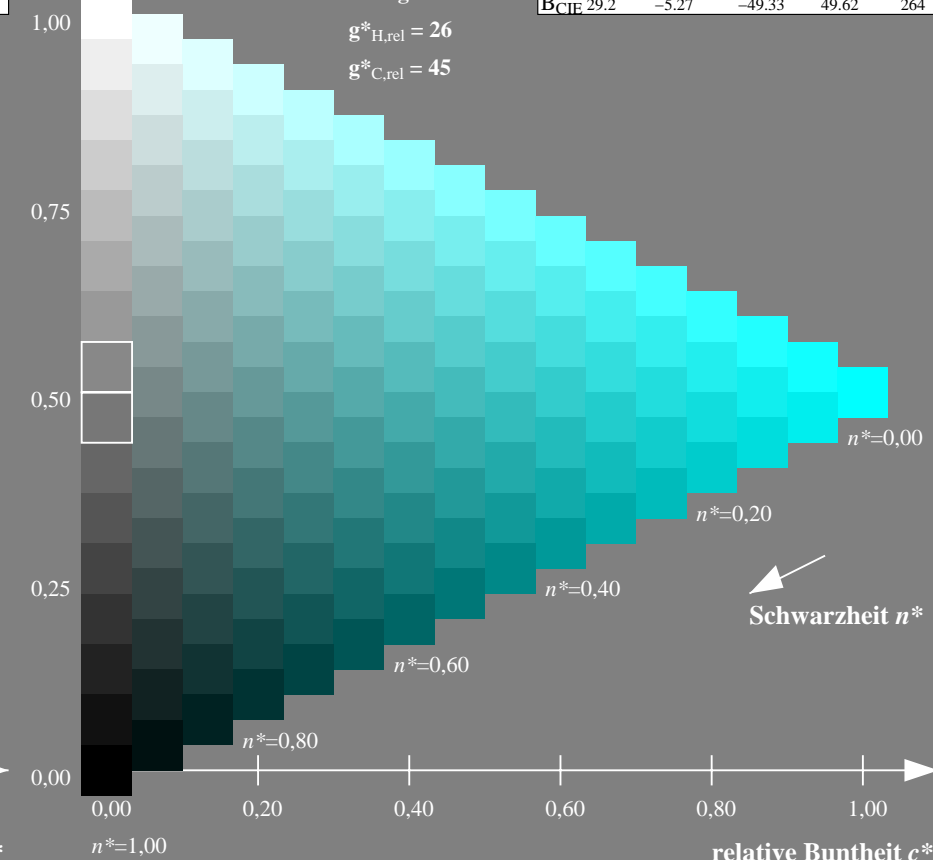
	$L^*=L^*_a$	$a^*_a$	$b^*_a$	$C^*_{ab,a}$	$h^*_{ab,a}$
O <sub>Ma</sub>	54.19	79.36	63.0	101.33	38
Y <sub>Ma</sub>	93.44	-14.18	82.59	83.8	100
L <sub>Ma</sub>	82.82	-83.73	70.41	109.41	140
C <sub>Ma</sub>	85.22	-55.9	-15.78	58.1	196
V <sub>Ma</sub>	25.61	67.05	-108.87	127.87	302
M <sub>Ma</sub>	58.76	91.18	-53.69	105.82	330
N <sub>Ma</sub>	0.01	0.0	0.0	0.0	0
W <sub>Ma</sub>	95.41	0.0	0.0	0.0	0
R <sub>CIE</sub>	41.88	62.0	31.82	69.69	27
J <sub>CIE</sub>	81.97	1.81	71.59	71.61	89
G <sub>CIE</sub>	51.62	-41.11	11.52	42.7	164
B <sub>CIE</sub>	29.2	-5.27	-49.33	49.62	264

Dreiecks-Helligkeit  $t^*$ 

%Umfang

 $u^*_{rel} = 156$ 

%Regularität

 $g^*_{H,rel} = 26$  $g^*_{C,rel} = 45$ 

PG900-7, 9stufige Reihen für konstanten CIELAB Buntton 231/360 = 0.641 (links)

16stufige Reihen für konstanten CIELAB Buntton 196/360 = 0.544 (rechts)

BAM-Prüfvorlage PG90; Farbmétrik-Systeme ORS18 & ORS18 input:  $olv^* setrgbcolor$ 

D50: 9 und 16stufige Farbreihen für 10 Bunttöne

output: Startup (S) data dependend

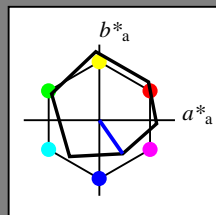
Eingabe: Farbmétrisches Offset-Reflektiv-System ORS18

für Buntton  $h^* = lab^*h = 305/360 = 0.847$  $lab^*tch$  und  $lab^*nch$ 

D50: Buntton V

LCH\*Ma: 26 54 305

olv\*Ma: 0.0 0.0 1.0

Dreiecks-Helligkeit  $t^*$ 

%Umfang

 $u^*_{rel} = 94$ 

%Regularität

 $g^*_{H,rel} = 65$  $g^*_{C,rel} = 60$ 

ORS18; adaptierte CIELAB-Daten

	$L^*=L^*_a$	$a^*_a$	$b^*_a$	$C^*_{ab,a}$	$h^*_{ab,a}$
O <sub>Ma</sub>	47.94	65.05	50.54	82.38	38
Y <sub>Ma</sub>	91.0	-4.72	90.58	90.7	93
L <sub>Ma</sub>	50.9	-63.18	34.98	72.22	151
C <sub>Ma</sub>	56.99	-39.34	-48.1	62.16	231
V <sub>Ma</sub>	25.72	30.89	-44.4	54.09	305
M <sub>Ma</sub>	49.99	75.76	-4.64	75.9	356
N <sub>Ma</sub>	18.09	0.0	0.0	0.0	0
W <sub>Ma</sub>	95.46	0.0	0.0	0.0	0
R <sub>CIE</sub>	41.88	61.66	30.69	68.88	26
J <sub>CIE</sub>	81.97	2.02	67.79	67.82	88
G <sub>CIE</sub>	51.62	-41.32	9.74	42.46	167
B <sub>CIE</sub>	29.2	-5.79	-49.61	49.96	263

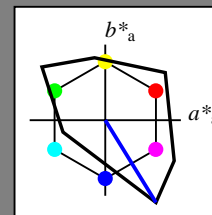
Ausgabe: Farbmétrisches Fernseh-Licht-System TLS00

für Buntton  $h^* = lab^*h = 302/360 = 0.838$  $lab^*tch$  und  $lab^*nch$ 

D50: Buntton V

LCH\*Ma: 26 128 302

olv\*Ma: 0.0 0.0 1.0

Dreiecks-Helligkeit  $t^*$ 

%Umfang

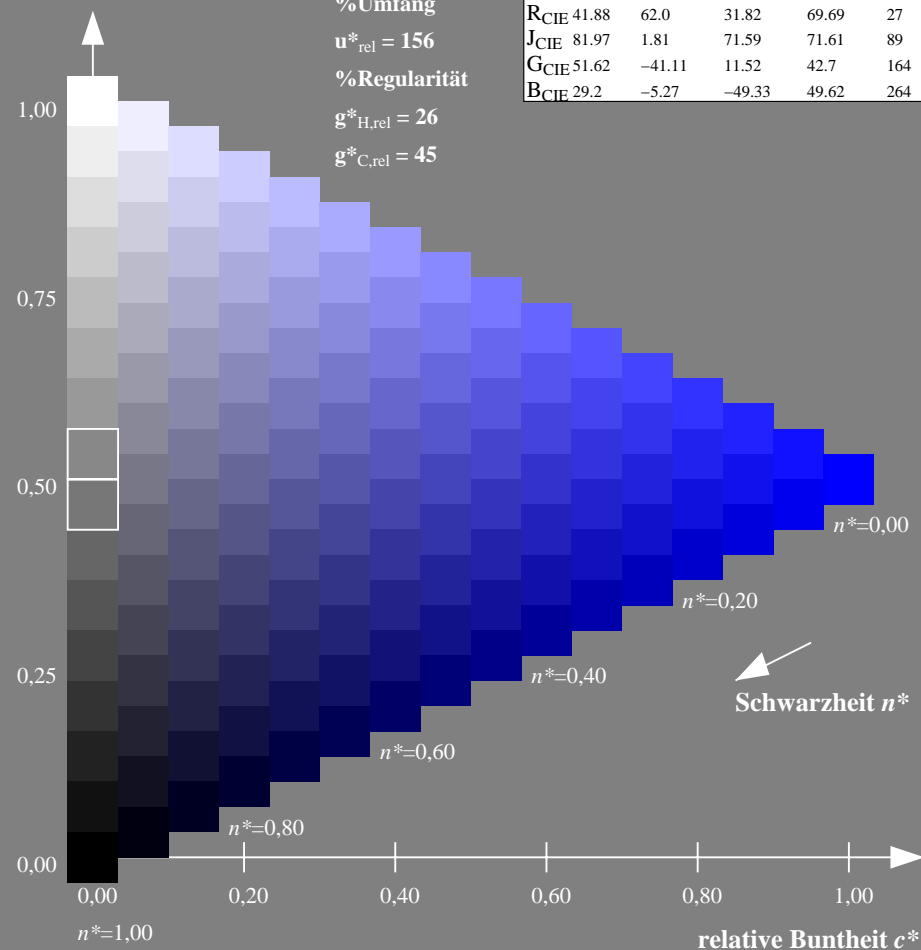
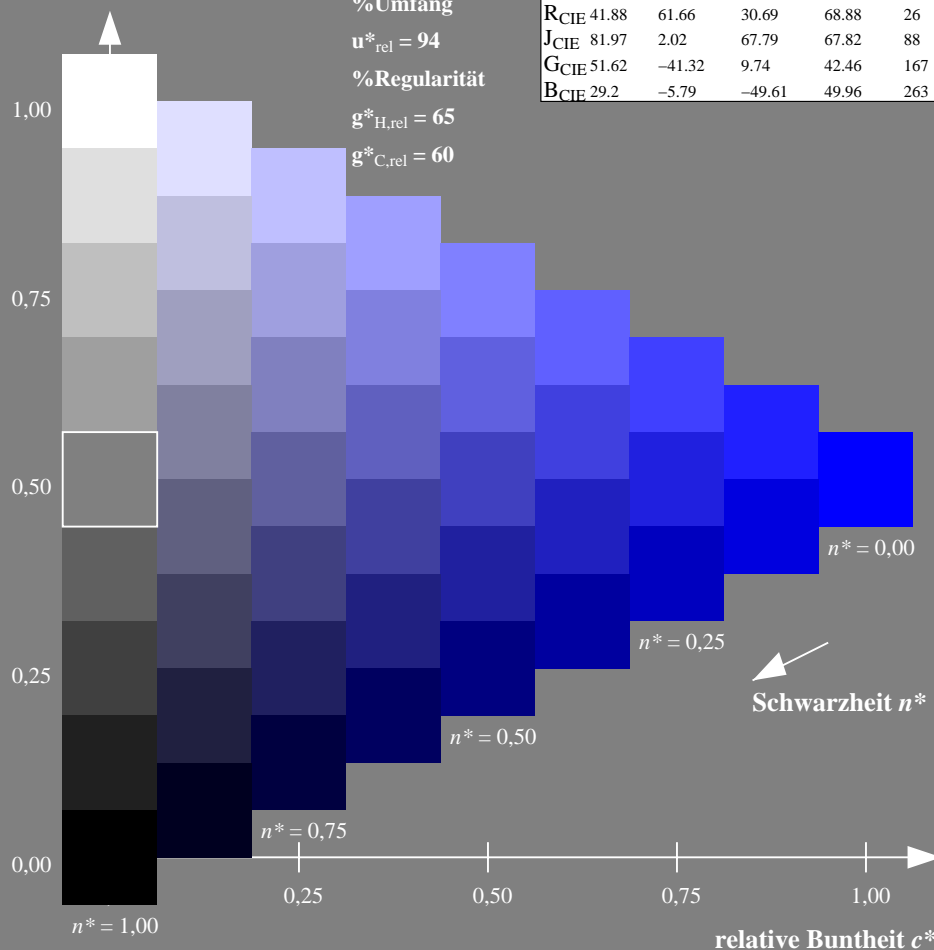
 $u^*_{rel} = 156$ 

%Regularität

 $g^*_{H,rel} = 26$  $g^*_{C,rel} = 45$ 

TLS00; adaptierte CIELAB-Daten

	$L^*=L^*_a$	$a^*_a$	$b^*_a$	$C^*_{ab,a}$	$h^*_{ab,a}$
O <sub>Ma</sub>	54.19	79.36	63.0	101.33	38
Y <sub>Ma</sub>	93.44	-14.18	82.59	83.8	100
L <sub>Ma</sub>	82.82	-83.73	70.41	109.41	140
C <sub>Ma</sub>	85.22	-55.9	-15.78	58.1	196
V <sub>Ma</sub>	25.61	67.05	-108.87	127.87	302
M <sub>Ma</sub>	58.76	91.18	-53.69	105.82	330
N <sub>Ma</sub>	0.01	0.0	0.0	0.0	0
W <sub>Ma</sub>	95.41	0.0	0.0	0.0	0
R <sub>CIE</sub>	41.88	62.0	31.82	69.69	27
J <sub>CIE</sub>	81.97	1.81	71.59	71.61	89
G <sub>CIE</sub>	51.62	-41.11	11.52	42.7	164
B <sub>CIE</sub>	29.2	-5.27	-49.33	49.62	264



PG900-7, 9stufige Reihen für konstanten CIELAB Buntton 305/360 = 0.847 (links)

16stufige Reihen für konstanten CIELAB Buntton 302/360 = 0.838 (rechts)

BAM-Prüfvorlage PG90; Farbmétrik-Systeme ORS18 &amp; ORS18 input: olv\* setrgbcolor

D50: 9 und 16stufige Farbreihen für 10 Bunttöne

output: Startup (S) data dependend

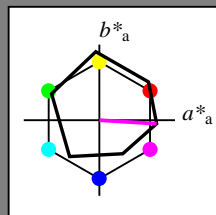
Eingabe: Farbmétrisches Offset-Reflektiv-System ORS18

für Buntton  $h^* = lab^*h = 356/360 = 0.99$  $lab^*tch$  und  $lab^*nch$ 

D50: Buntton M

LCH\*Ma: 50 76 356

olv\*Ma: 1.0 0.0 1.0



ORS18; adaptierte CIELAB-Daten

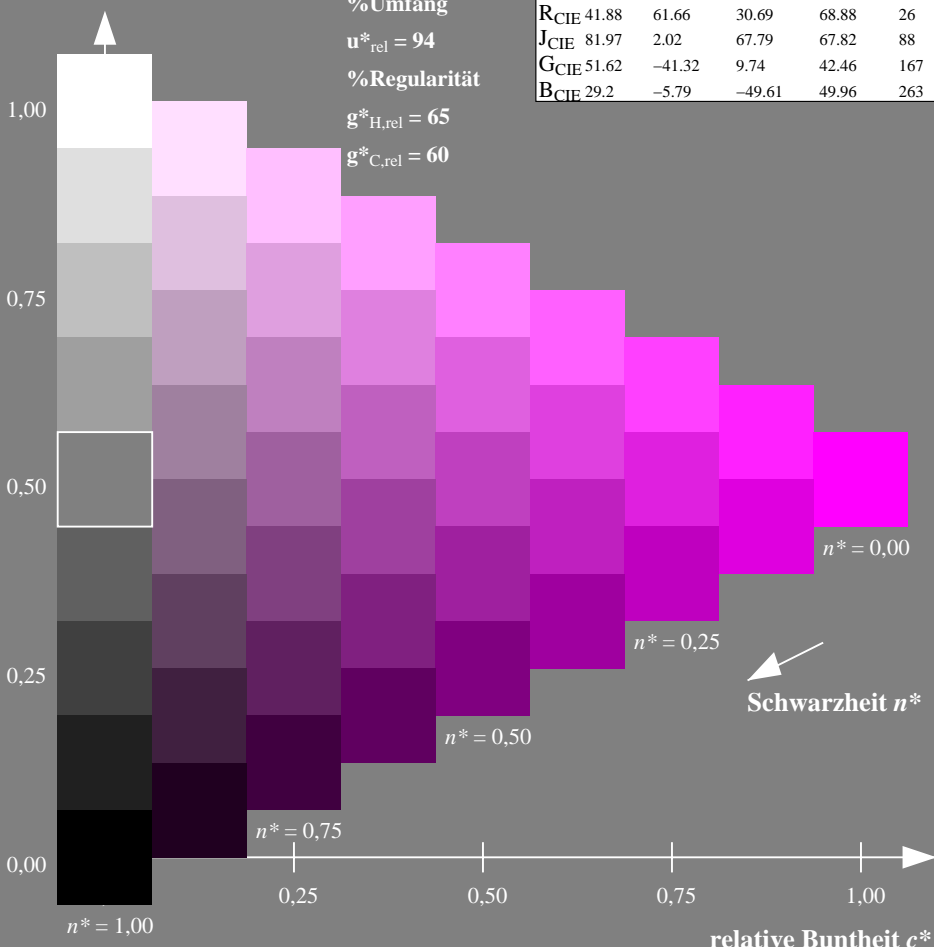
	$L^*=L_a^*$	$a_a^*$	$b_a^*$	$C_{ab,a}^*$	$h_{ab,a}^*$
O <sub>Ma</sub>	47.94	65.05	50.54	82.38	38
Y <sub>Ma</sub>	91.0	-4.72	90.58	90.7	93
L <sub>Ma</sub>	50.9	-63.18	34.98	72.22	151
C <sub>Ma</sub>	56.99	-39.34	-48.1	62.16	231
V <sub>Ma</sub>	25.72	30.89	-44.4	54.09	305
M <sub>Ma</sub>	49.99	75.76	-4.64	75.9	356
N <sub>Ma</sub>	18.09	0.0	0.0	0.0	0
W <sub>Ma</sub>	95.46	0.0	0.0	0.0	0
R <sub>CIE</sub>	41.88	61.66	30.69	68.88	26
J <sub>CIE</sub>	81.97	2.02	67.79	67.82	88
G <sub>CIE</sub>	51.62	-41.32	9.74	42.46	167
B <sub>CIE</sub>	29.2	-5.79	-49.61	49.96	263

Dreiecks-Helligkeit  $t^*$ 

%Umfang

 $u_{rel}^* = 94$ 

%Regularität

 $g_{H,rel}^* = 65$  $g_{C,rel}^* = 60$ 

PG900-7, 9stufige Reihen für konstanten CIELAB Buntton 356/360 = 0.99 (links)

BAM-Prüfvorlage PG90; Farbmétrik-Systeme ORS18 &amp; ORS18 input: olv\* setrgbcolor

D50: 9 und 16stufige Farbreihen für 10 Bunttöne

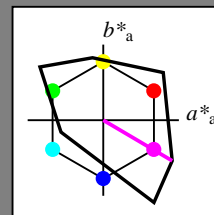
Ausgabe: Farbmétrisches Fernseh-Licht-System TLS00

für Buntton  $h^* = lab^*h = 330/360 = 0.915$  $lab^*tch$  und  $lab^*nch$ 

D50: Buntton M

LCH\*Ma: 59 106 330

olv\*Ma: 1.0 0.0 1.0



TLS00; adaptierte CIELAB-Daten

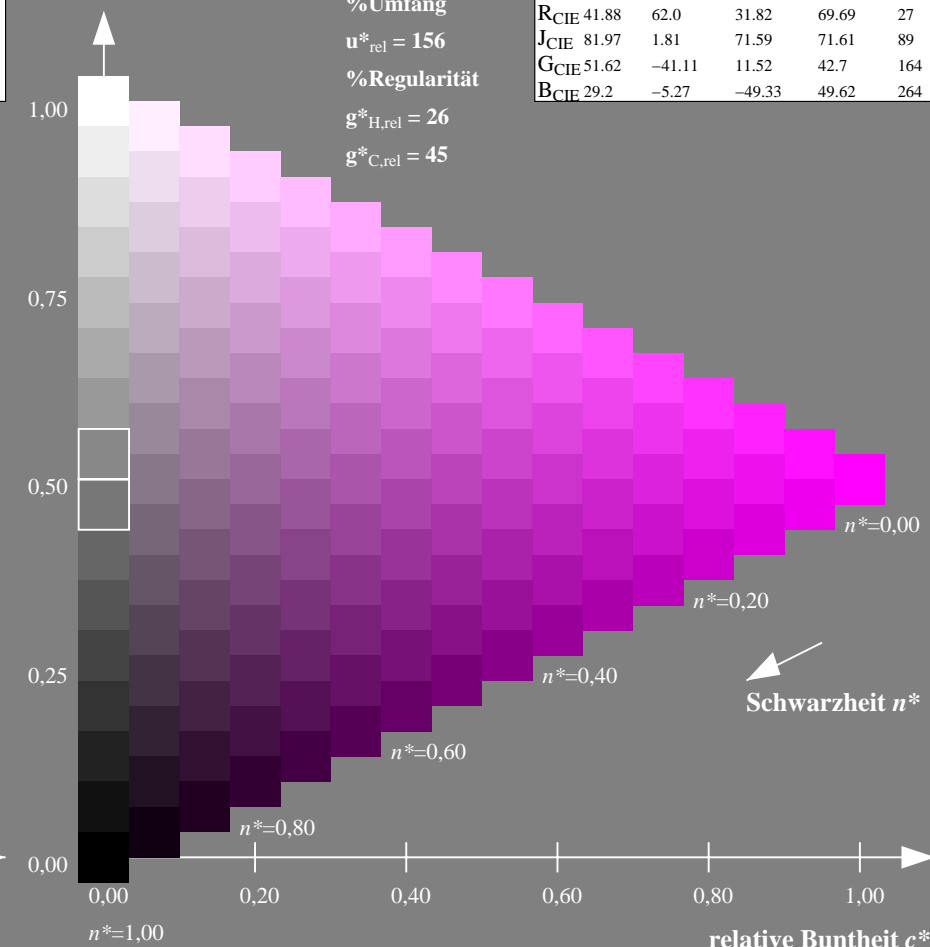
	$L^*=L_a^*$	$a_a^*$	$b_a^*$	$C_{ab,a}^*$	$h_{ab,a}^*$
O <sub>Ma</sub>	54.19	79.36	63.0	101.33	38
Y <sub>Ma</sub>	93.44	-14.18	82.59	83.8	100
L <sub>Ma</sub>	82.82	-83.73	70.41	109.41	140
C <sub>Ma</sub>	85.22	-55.9	-15.78	58.1	196
V <sub>Ma</sub>	25.61	67.05	-108.87	127.87	302
M <sub>Ma</sub>	58.76	91.18	-53.69	105.82	330
N <sub>Ma</sub>	0.01	0.0	0.0	0.0	0
W <sub>Ma</sub>	95.41	0.0	0.0	0.0	0
R <sub>CIE</sub>	41.88	62.0	31.82	69.69	27
J <sub>CIE</sub>	81.97	1.81	71.59	71.61	89
G <sub>CIE</sub>	51.62	-41.11	11.52	42.7	164
B <sub>CIE</sub>	29.2	-5.27	-49.33	49.62	264

Dreiecks-Helligkeit  $t^*$ 

%Umfang

 $u_{rel}^* = 156$ 

%Regularität

 $g_{H,rel}^* = 26$  $g_{C,rel}^* = 45$ 

16stufige Reihen für konstanten CIELAB Buntton 330/360 = 0.915 (rechts)

output: Startup (S) data dependend

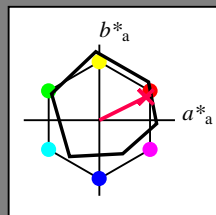
Eingabe: Farbmétrisches Offset-Reflektiv-System ORS18

für Buntton  $h^* = lab^*h = 26/360 = 0.074$  $lab^*tch$  und  $lab^*nch$ 

D50: Buntton R

LCH\*Ma: 49 76 26

olv\*Ma: 1.0 0.0 0.3

Dreiecks-Helligkeit  $t^*$ 

%Umfang

 $u^*_{rel} = 94$ 

%Regularität

 $g^*_{H,rel} = 65$  $g^*_{C,rel} = 60$ 

ORS18; adaptierte CIELAB-Daten

	$L^*=L^*_a$	$a^*_a$	$b^*_a$	$C^*_{ab,a}$	$h^*_{ab,a}$
O <sub>Ma</sub>	47.94	65.05	50.54	82.38	38
Y <sub>Ma</sub>	91.0	-4.72	90.58	90.7	93
L <sub>Ma</sub>	50.9	-63.18	34.98	72.22	151
C <sub>Ma</sub>	56.99	-39.34	-48.1	62.16	231
V <sub>Ma</sub>	25.72	30.89	-44.4	54.09	305
M <sub>Ma</sub>	49.99	75.76	-4.64	75.9	356
N <sub>Ma</sub>	18.09	0.0	0.0	0.0	0
W <sub>Ma</sub>	95.46	0.0	0.0	0.0	0
R <sub>CIE</sub>	41.88	61.66	30.69	68.88	26
J <sub>CIE</sub>	81.97	2.02	67.79	67.82	88
G <sub>CIE</sub>	51.62	-41.32	9.74	42.46	167
B <sub>CIE</sub>	29.2	-5.79	-49.61	49.96	263

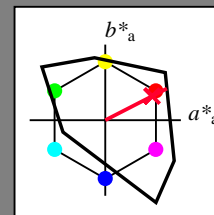
Ausgabe: Farbmétrisches Fernseh-Licht-System TLS00

für Buntton  $h^* = lab^*h = 27/360 = 0.075$  $lab^*tch$  und  $lab^*nch$ 

D50: Buntton R

LCH\*Ma: 55 92 27

olv\*Ma: 1.0 0.0 0.18

Dreiecks-Helligkeit  $t^*$ 

%Umfang

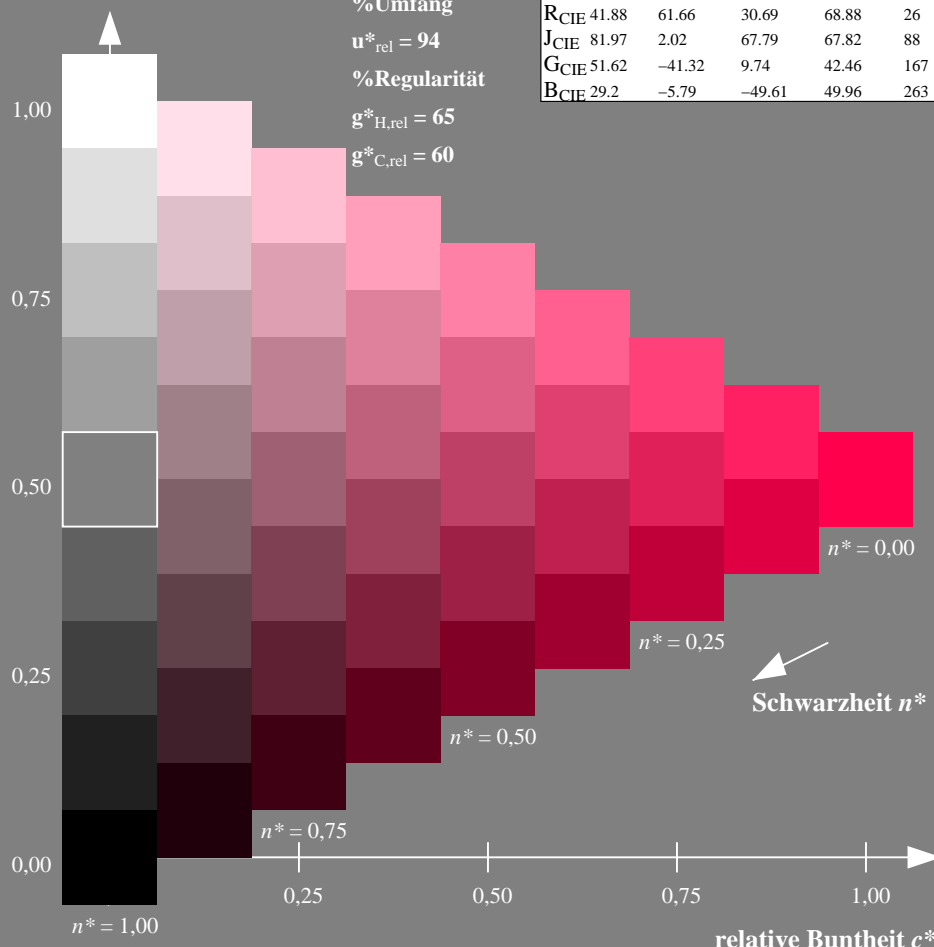
 $u^*_{rel} = 156$ 

%Regularität

 $g^*_{H,rel} = 26$  $g^*_{C,rel} = 45$ 

TLS00; adaptierte CIELAB-Daten

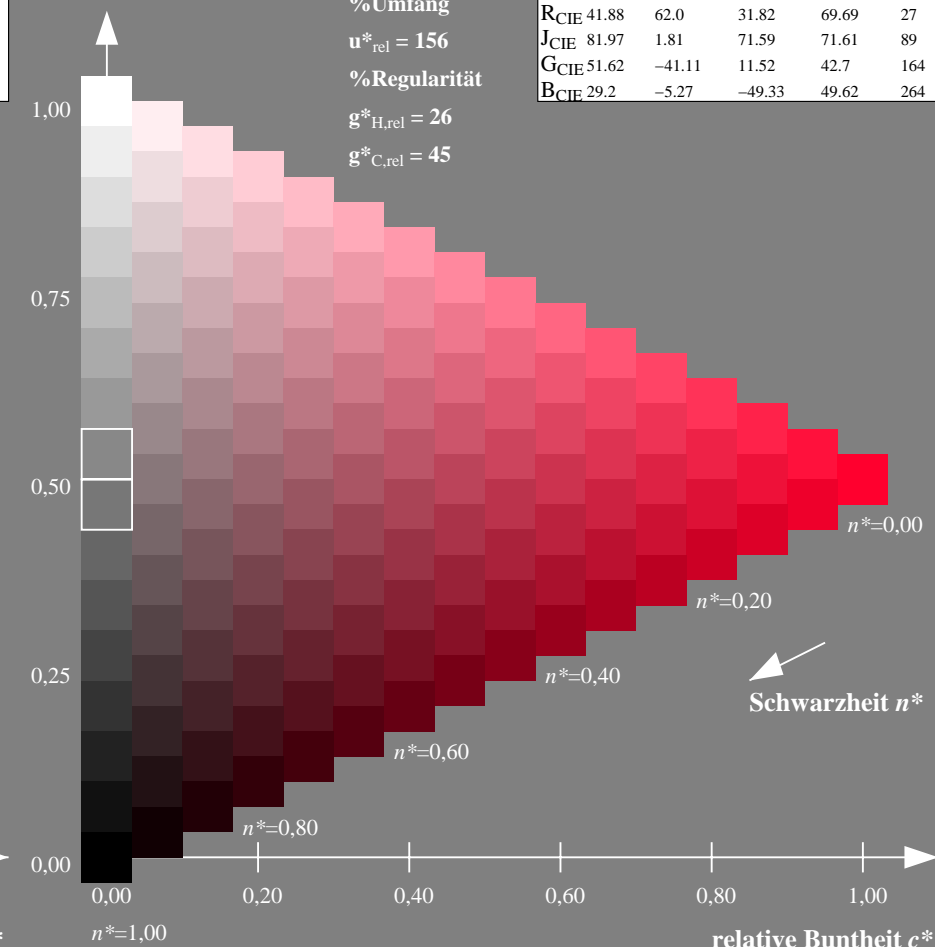
	$L^*=L^*_a$	$a^*_a$	$b^*_a$	$C^*_{ab,a}$	$h^*_{ab,a}$
O <sub>Ma</sub>	54.19	79.36	63.0	101.33	38
Y <sub>Ma</sub>	93.44	-14.18	82.59	83.8	100
L <sub>Ma</sub>	82.82	-83.73	70.41	109.41	140
C <sub>Ma</sub>	85.22	-55.9	-15.78	58.1	196
V <sub>Ma</sub>	25.61	67.05	-108.87	127.87	302
M <sub>Ma</sub>	58.76	91.18	-53.69	105.82	330
N <sub>Ma</sub>	0.01	0.0	0.0	0.0	0
W <sub>Ma</sub>	95.41	0.0	0.0	0.0	0
R <sub>CIE</sub>	41.88	62.0	31.82	69.69	27
J <sub>CIE</sub>	81.97	1.81	71.59	71.61	89
G <sub>CIE</sub>	51.62	-41.11	11.52	42.7	164
B <sub>CIE</sub>	29.2	-5.27	-49.33	49.62	264



PG900-7, 9stufige Reihen für konstanten CIELAB Buntton 26/360 = 0.074 (links)

BAM-Prüfvorlage PG90; Farbmétrik-Systeme ORS18 &amp; ORS18 input: olv\* setrgbcolor

D50: 9 und 16stufige Farbreihen für 10 Bunttöne



16stufige Reihen für konstanten CIELAB Buntton 27/360 = 0.075 (rechts)

output: Startup (S) data dependend



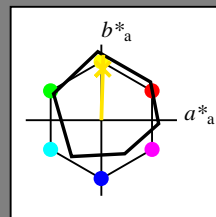
Eingabe: Farbmétrisches Offset-Reflektiv-System ORS18

für Buntton  $h^* = lab^*h = 88/360 = 0.245$  $lab^*tch$  und  $lab^*nch$ 

D50: Buntton J

LCH\*Ma: 86 86 88

olv\*Ma: 1.0 0.9 0.0



ORS18; adaptierte CIELAB-Daten

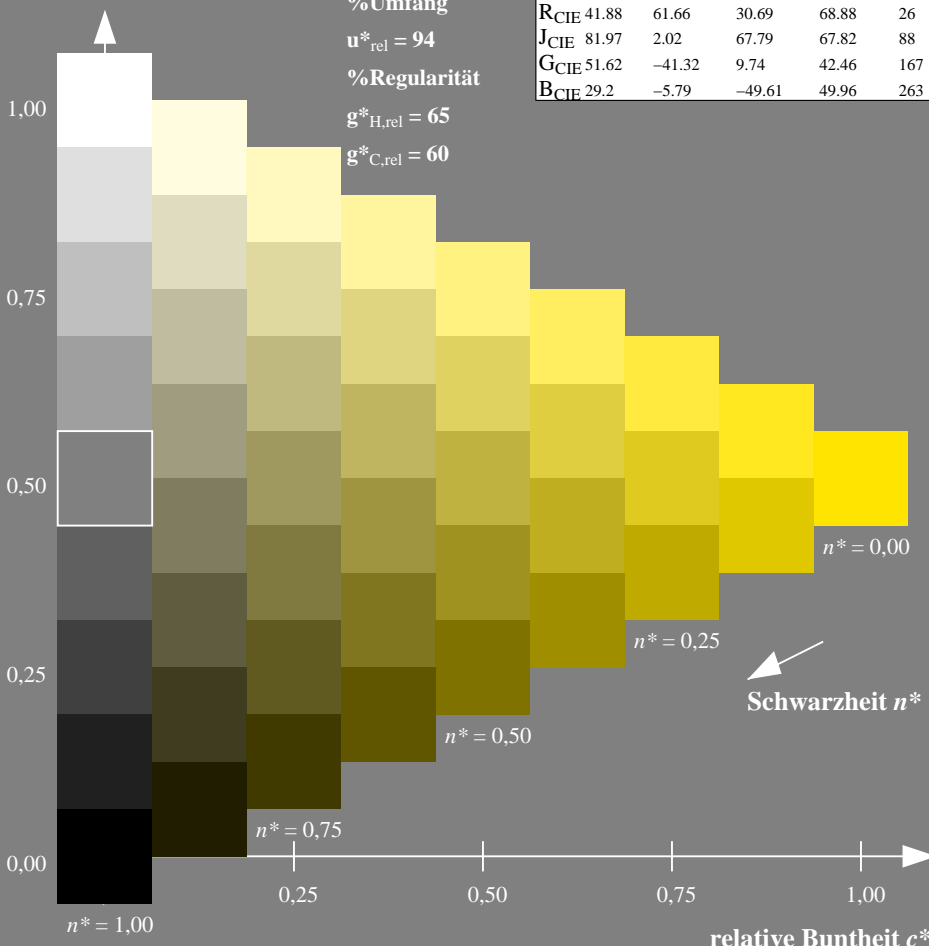
	$L^*=L^*_a$	$a^*_a$	$b^*_a$	$C^*_{ab,a}$	$h^*_{ab,a}$
O <sub>Ma</sub>	47.94	65.05	50.54	82.38	38
Y <sub>Ma</sub>	91.0	-4.72	90.58	90.7	93
L <sub>Ma</sub>	50.9	-63.18	34.98	72.22	151
C <sub>Ma</sub>	56.99	-39.34	-48.1	62.16	231
V <sub>Ma</sub>	25.72	30.89	-44.4	54.09	305
M <sub>Ma</sub>	49.99	75.76	-4.64	75.9	356
N <sub>Ma</sub>	18.09	0.0	0.0	0.0	0
W <sub>Ma</sub>	95.46	0.0	0.0	0.0	0
R <sub>CIE</sub>	41.88	61.66	30.69	68.88	26
J <sub>CIE</sub>	81.97	2.02	67.79	67.82	88
G <sub>CIE</sub>	51.62	-41.32	9.74	42.46	167
B <sub>CIE</sub>	29.2	-5.79	-49.61	49.96	263

Dreiecks-Helligkeit  $t^*$ 

%Umfang

 $u^*_{rel} = 94$ 

%Regularität

 $g^*_{H,rel} = 65$  $g^*_{C,rel} = 60$ 

PG900-7, 9stufige Reihen für konstanten CIELAB Buntton 88/360 = 0.245 (links)

BAM-Prüfvorlage PG90; Farbmétrik-Systeme ORS18 &amp; ORS18 input: olv\* setrgbcolor

D50: 9 und 16stufige Farbreihen für 10 Bunttöne

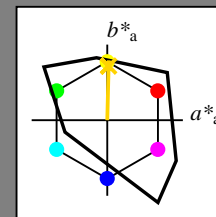
Ausgabe: Farbmétrisches Fernseh-Licht-System TLS00

für Buntton  $h^* = lab^*h = 89/360 = 0.246$  $lab^*tch$  und  $lab^*nch$ 

D50: Buntton J

LCH\*Ma: 87 79 89

olv\*Ma: 1.0 0.83 0.0



TLS00; adaptierte CIELAB-Daten

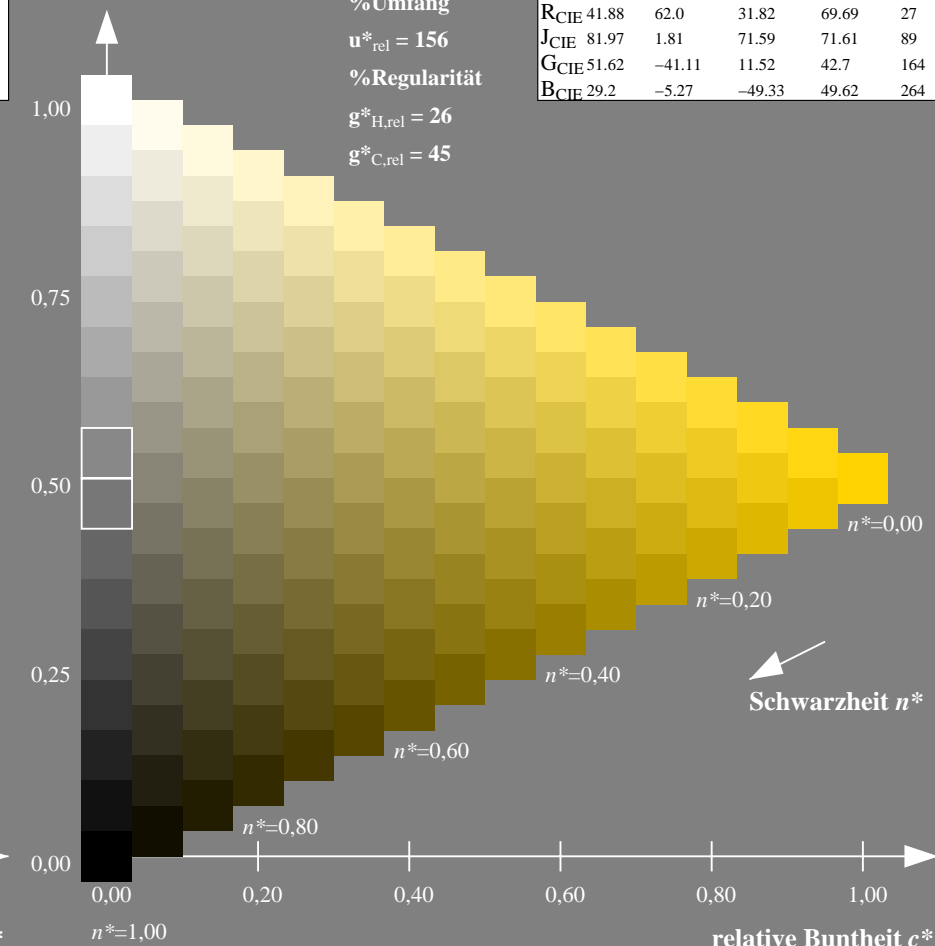
	$L^*=L^*_a$	$a^*_a$	$b^*_a$	$C^*_{ab,a}$	$h^*_{ab,a}$
O <sub>Ma</sub>	54.19	79.36	63.0	101.33	38
Y <sub>Ma</sub>	93.44	-14.18	82.59	83.8	100
L <sub>Ma</sub>	82.82	-83.73	70.41	109.41	140
C <sub>Ma</sub>	85.22	-55.9	-15.78	58.1	196
V <sub>Ma</sub>	25.61	67.05	-108.87	127.87	302
M <sub>Ma</sub>	58.76	91.18	-53.69	105.82	330
N <sub>Ma</sub>	0.01	0.0	0.0	0.0	0
W <sub>Ma</sub>	95.41	0.0	0.0	0.0	0
R <sub>CIE</sub>	41.88	62.0	31.82	69.69	27
J <sub>CIE</sub>	81.97	1.81	71.59	71.61	89
G <sub>CIE</sub>	51.62	-41.11	11.52	42.7	164
B <sub>CIE</sub>	29.2	-5.27	-49.33	49.62	264

Dreiecks-Helligkeit  $t^*$ 

%Umfang

 $u^*_{rel} = 156$ 

%Regularität

 $g^*_{H,rel} = 26$  $g^*_{C,rel} = 45$ 

16stufige Reihen für konstanten CIELAB Buntton 89/360 = 0.246 (rechts)

output: Startup (S) data dependend



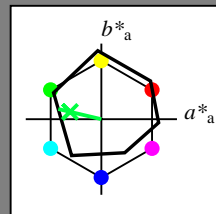
Eingabe: Farbmétrisches Offset-Reflektiv-System ORS18

für Buntton  $h^* = lab^*h = 167/360 = 0.463$  $lab^*tch$  und  $lab^*nch$ 

D50: Buntton G

LCH\*Ma: 52 59 167

olv\*Ma: 0.0 1.0 0.26

Dreiecks-Helligkeit  $t^*$ 

%Umfang

 $u^*_{rel} = 94$ 

%Regularität

 $g^*_{H,rel} = 65$  $g^*_{C,rel} = 60$ 

ORS18; adaptierte CIELAB-Daten

	$L^*=L^*_a$	$a^*_a$	$b^*_a$	$C^*_{ab,a}$	$h^*_{ab,a}$
O <sub>Ma</sub>	47.94	65.05	50.54	82.38	38
Y <sub>Ma</sub>	91.0	-4.72	90.58	90.7	93
L <sub>Ma</sub>	50.9	-63.18	34.98	72.22	151
C <sub>Ma</sub>	56.99	-39.34	-48.1	62.16	231
V <sub>Ma</sub>	25.72	30.89	-44.4	54.09	305
M <sub>Ma</sub>	49.99	75.76	-4.64	75.9	356
N <sub>Ma</sub>	18.09	0.0	0.0	0.0	0
W <sub>Ma</sub>	95.46	0.0	0.0	0.0	0
R <sub>CIE</sub>	41.88	61.66	30.69	68.88	26
J <sub>CIE</sub>	81.97	2.02	67.79	67.82	88
G <sub>CIE</sub>	51.62	-41.32	9.74	42.46	167
B <sub>CIE</sub>	29.2	-5.79	-49.61	49.96	263

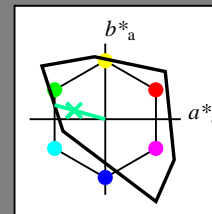
Ausgabe: Farbmétrisches Fernseh-Licht-System TLS00

für Buntton  $h^* = lab^*h = 164/360 = 0.457$  $lab^*tch$  und  $lab^*nch$ 

D50: Buntton G

LCH\*Ma: 84 70 164

olv\*Ma: 0.0 1.0 0.6

Dreiecks-Helligkeit  $t^*$ 

%Umfang

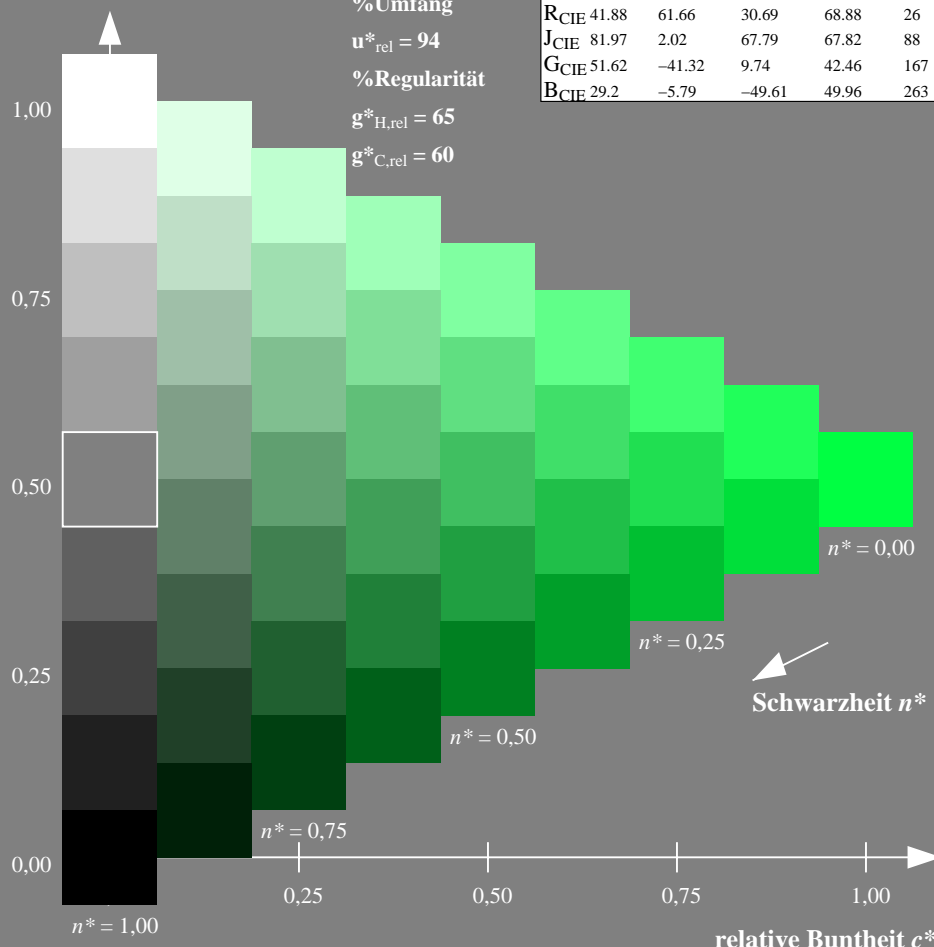
 $u^*_{rel} = 156$ 

%Regularität

 $g^*_{H,rel} = 26$  $g^*_{C,rel} = 45$ 

TLS00; adaptierte CIELAB-Daten

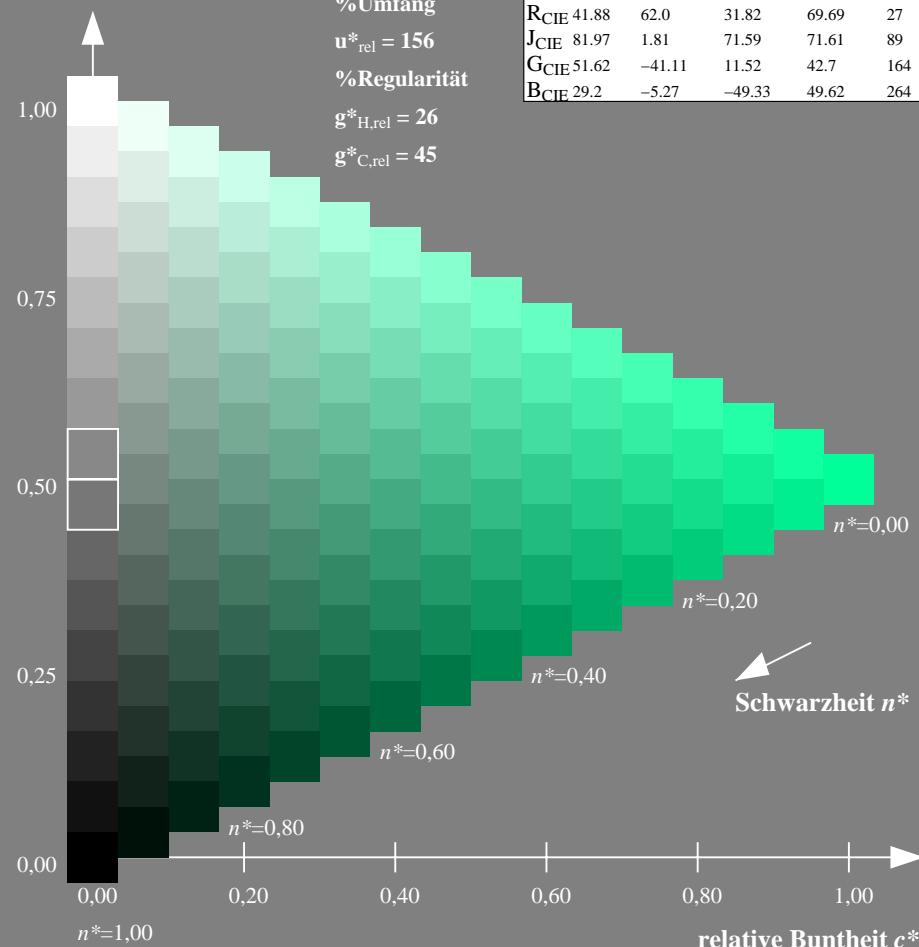
	$L^*=L^*_a$	$a^*_a$	$b^*_a$	$C^*_{ab,a}$	$h^*_{ab,a}$
O <sub>Ma</sub>	54.19	79.36	63.0	101.33	38
Y <sub>Ma</sub>	93.44	-14.18	82.59	83.8	100
L <sub>Ma</sub>	82.82	-83.73	70.41	109.41	140
C <sub>Ma</sub>	85.22	-55.9	-15.78	58.1	196
V <sub>Ma</sub>	25.61	67.05	-108.87	127.87	302
M <sub>Ma</sub>	58.76	91.18	-53.69	105.82	330
N <sub>Ma</sub>	0.01	0.0	0.0	0.0	0
W <sub>Ma</sub>	95.41	0.0	0.0	0.0	0
R <sub>CIE</sub>	41.88	62.0	31.82	69.69	27
J <sub>CIE</sub>	81.97	1.81	71.59	71.61	89
G <sub>CIE</sub>	51.62	-41.11	11.52	42.7	164
B <sub>CIE</sub>	29.2	-5.27	-49.33	49.62	264



PG900-7, 9stufige Reihen für konstanten CIELAB Buntton 167/360 = 0.463 (links)

BAM-Prüfvorlage PG90; Farbmétrik-Systeme ORS18 &amp; ORS18 input: olv\* setrgbcolor

D50: 9 und 16stufige Farbreihen für 10 Bunttöne



16stufige Reihen für konstanten CIELAB Buntton 164/360 = 0.457 (rechts)

output: Startup (S) data dependend

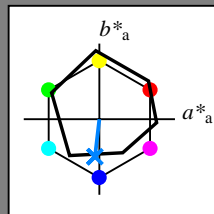
Eingabe: Farbmétrisches Offset-Reflektiv-System ORS18

für Buntton  $h^* = lab^*h = 263/360 = 0.731$  $lab^*tch$  und  $lab^*nch$ 

D50: Buntton B

LCH\*Ma: 42 47 263

olv\*Ma: 0.0 0.52 1.0



ORS18; adaptierte CIELAB-Daten

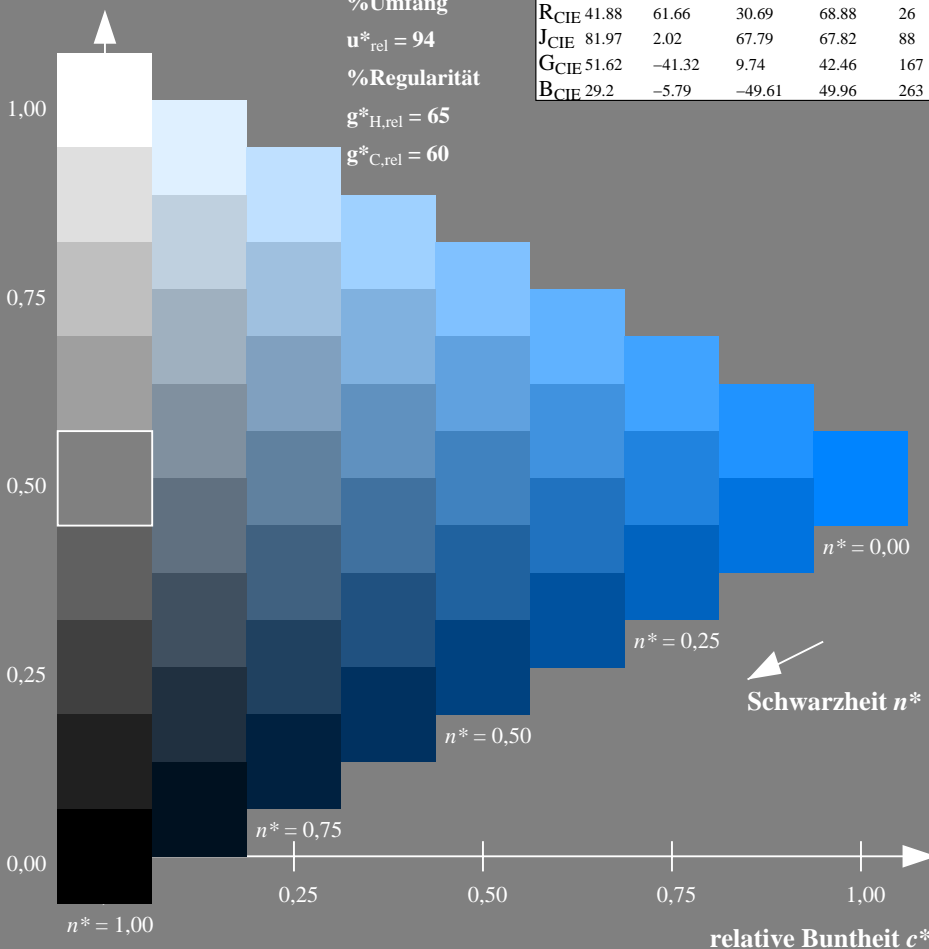
	$L^*=L^*_a$	$a^*_a$	$b^*_a$	$C^*_{ab,a}$	$h^*_{ab,a}$
O <sub>Ma</sub>	47.94	65.05	50.54	82.38	38
Y <sub>Ma</sub>	91.0	-4.72	90.58	90.7	93
L <sub>Ma</sub>	50.9	-63.18	34.98	72.22	151
C <sub>Ma</sub>	56.99	-39.34	-48.1	62.16	231
V <sub>Ma</sub>	25.72	30.89	-44.4	54.09	305
M <sub>Ma</sub>	49.99	75.76	-4.64	75.9	356
N <sub>Ma</sub>	18.09	0.0	0.0	0.0	0
W <sub>Ma</sub>	95.46	0.0	0.0	0.0	0
R <sub>CIE</sub>	41.88	61.66	30.69	68.88	26
J <sub>CIE</sub>	81.97	2.02	67.79	67.82	88
G <sub>CIE</sub>	51.62	-41.32	9.74	42.46	167
B <sub>CIE</sub>	29.2	-5.79	-49.61	49.96	263

Dreiecks-Helligkeit  $t^*$ 

%Umfang

 $u^*_{rel} = 94$ 

%Regularität

 $g^*_{H,rel} = 65$  $g^*_{C,rel} = 60$ 

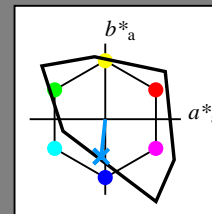
Ausgabe: Farbmétrisches Fernseh-Licht-System TLS00

für Buntton  $h^* = lab^*h = 264/360 = 0.733$  $lab^*tch$  und  $lab^*nch$ 

D50: Buntton B

LCH\*Ma: 61 54 264

olv\*Ma: 0.0 0.59 1.0



TLS00; adaptierte CIELAB-Daten

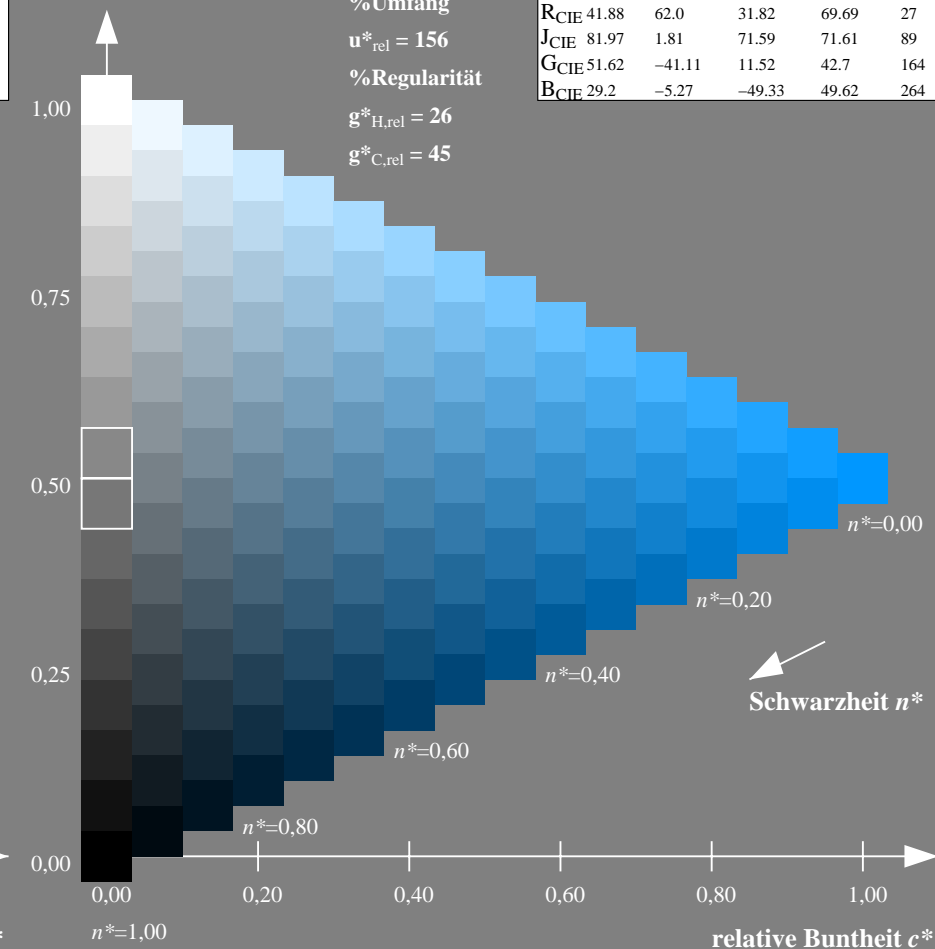
	$L^*=L^*_a$	$a^*_a$	$b^*_a$	$C^*_{ab,a}$	$h^*_{ab,a}$
O <sub>Ma</sub>	54.19	79.36	63.0	101.33	38
Y <sub>Ma</sub>	93.44	-14.18	82.59	83.8	100
L <sub>Ma</sub>	82.82	-83.73	70.41	109.41	140
C <sub>Ma</sub>	85.22	-55.9	-15.78	58.1	196
V <sub>Ma</sub>	25.61	67.05	-108.87	127.87	302
M <sub>Ma</sub>	58.76	91.18	-53.69	105.82	330
N <sub>Ma</sub>	0.01	0.0	0.0	0.0	0
W <sub>Ma</sub>	95.41	0.0	0.0	0.0	0
R <sub>CIE</sub>	41.88	62.0	31.82	69.69	27
J <sub>CIE</sub>	81.97	1.81	71.59	71.61	89
G <sub>CIE</sub>	51.62	-41.11	11.52	42.7	164
B <sub>CIE</sub>	29.2	-5.27	-49.33	49.62	264

Dreiecks-Helligkeit  $t^*$ 

%Umfang

 $u^*_{rel} = 156$ 

%Regularität

 $g^*_{H,rel} = 26$  $g^*_{C,rel} = 45$ 

PG900-7, 9stufige Reihen für konstanten CIELAB Buntton 263/360 = 0.731 (links)

16stufige Reihen für konstanten CIELAB Buntton 264/360 = 0.733 (rechts)

BAM-Prüfvorlage PG90; Farbmétrik-Systeme ORS18 &amp; ORS18 input: olv\* setrgbcolor

D50: 9 und 16stufige Farbreihen für 10 Bunttöne

output: Startup (S) data dependend